

KSIEZYC

Data 2022	0 ^h UT			Data 2022	0 ^h UT					
	λ_0	β_0	P		λ_0	β_0	P			
I	1	-1.82	1.72	4.80	II	18	-4.99	-6.22	22.51	
	2	0.10	3.36	358.43		19	-4.99	-5.59	22.73	
	3	2.08	4.76	352.04		20	-4.81	-4.66	21.91	
	4	3.94	5.83	346.37		21	-4.50	-3.45	20.06	
	5	5.52	6.48	341.97		22	-4.04	-2.02	17.21	
	6	6.70	6.70	339.04		23	-3.44	-0.47	13.34	
	7	7.41	6.52	337.52		24	-2.70	1.14	8.51	
	8	7.62	5.99	337.23		25	-1.80	2.69	2.87	
	9	7.36	5.16	337.97		26	-0.74	4.09	356.81	
	10	6.69	4.11	339.58		27	0.44	5.24	350.85	
	11	5.69	2.90	341.96		28	1.68	6.06	345.61	
	12	4.46	1.58	345.05		III	1	2.90	6.50	341.53
	13	3.09	0.21	348.80			2	3.99	6.53	338.83
	14	1.65	-1.16	353.14			3	4.84	6.17	337.49
	15	0.23	-2.48	357.94			4	5.37	5.45	337.37
	16	-1.11	-3.69	3.00			5	5.52	4.46	338.31
	17	-2.33	-4.76	8.01			6	5.27	3.25	340.16
	18	-3.40	-5.62	12.65			7	4.65	1.92	342.82
	19	-4.29	-6.23	16.62			8	3.72	0.52	346.21
	20	-5.00	-6.55	19.68			9	2.54	-0.87	350.24
	21	-5.53	-6.56	21.72			10	1.22	-2.21	354.80
	22	-5.87	-6.24	22.71		11	-0.17	-3.44	359.73	
	23	-6.02	-5.60	22.66		12	-1.52	-4.53	4.80	
	24	-5.96	-4.65	21.60		13	-2.74	-5.43	9.69	
	25	-5.68	-3.43	19.52		14	-3.76	-6.11	14.10	
	26	-5.15	-1.98	16.41		15	-4.53	-6.51	17.77	
	27	-4.34	-0.39	12.24		16	-5.00	-6.60	20.48	
	28	-3.24	1.26	7.07		17	-5.17	-6.36	22.15	
	29	-1.88	2.85	1.11	18	-5.05	-5.78	22.74		
	30	-0.31	4.28	354.81	19	-4.67	-4.86	22.24		
	31	1.36	5.42	348.84	20	-4.09	-3.64	20.67		
II	1	3.01	6.19	343.85	21	-3.36	-2.20	18.05		
	2	4.48	6.55	340.23	22	-2.54	-0.60	14.37		
	3	5.64	6.49	338.07	23	-1.64	1.04	9.70		
	4	6.38	6.04	337.26	24	-0.71	2.63	4.21		
	5	6.65	5.26	337.60	25	0.24	4.05	358.22		
	6	6.46	4.23	338.92	26	1.19	5.23	352.26		
	7	5.85	3.03	341.08	27	2.13	6.09	346.90		
	8	4.90	1.71	343.98	28	3.00	6.57	342.59		
	9	3.69	0.35	347.56	29	3.78	6.67	339.55		
	10	2.32	-1.02	351.75	30	4.39	6.38	337.83		
	11	0.90	-2.33	356.43	31	4.79	5.73	337.31		
	12	-0.48	-3.54	1.43	IV	1	4.93	4.78	337.88	
	13	-1.76	-4.61	6.49		2	4.78	3.60	339.40	
	14	-2.86	-5.48	11.28		3	4.32	2.26	341.76	
	15	-3.74	-6.11	15.49		4	3.57	0.83	344.90	
	16	-4.39	-6.47	18.85		5	2.58	-0.60	348.73	
	17	-4.80	-6.51	21.21		6	1.39	-1.99	353.16	

KSIEŻYC

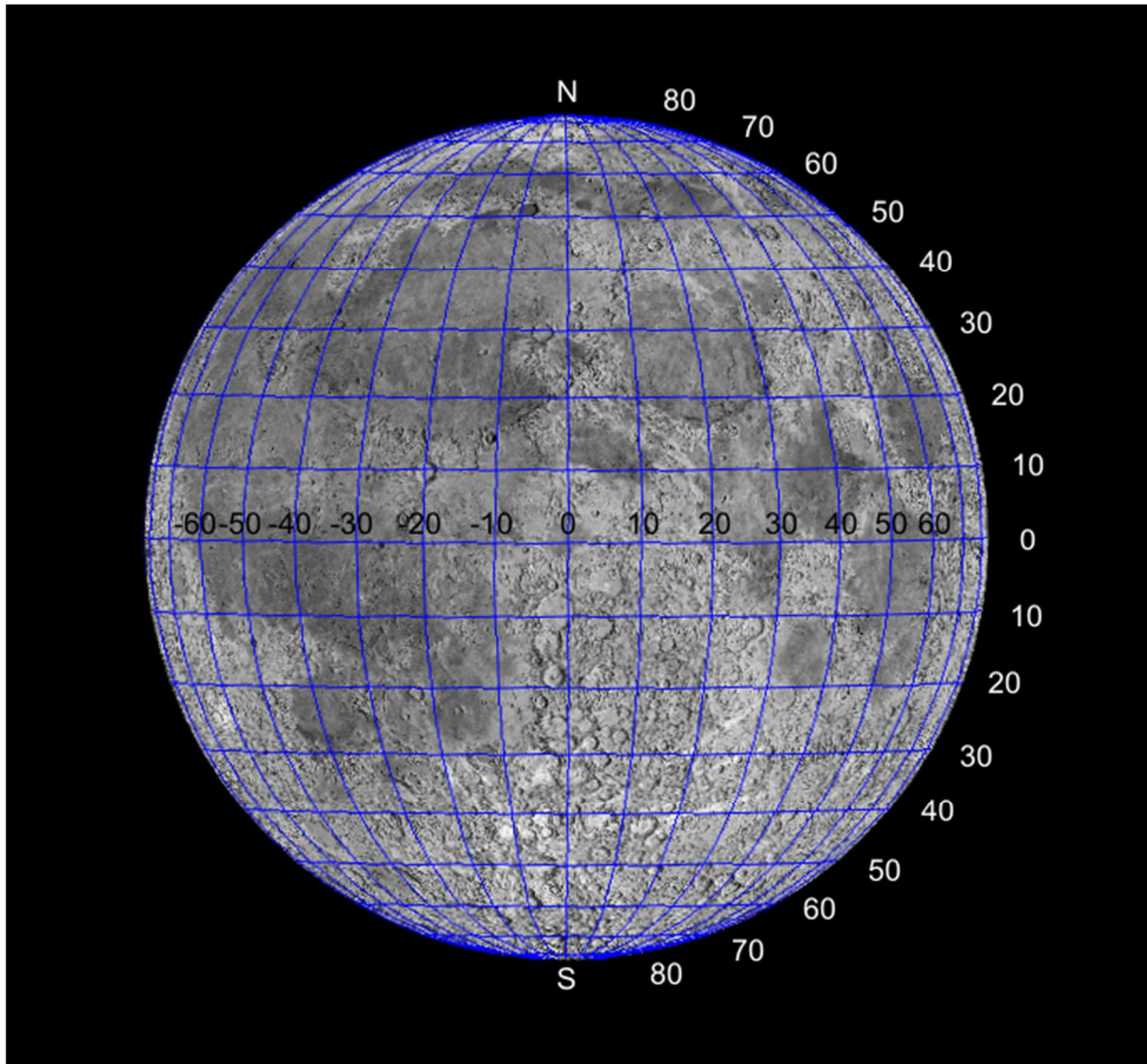
Data 2022	0 ^h UT			Data 2022	0 ^h UT					
	λ_0	β_0	P		λ_0	β_0	P			
IV	7	0.07	-3.28	358.01	V	25	6.68	5.31	337.52	
	8	-1.29	-4.42	3.07		26	6.35	4.23	338.52	
	9	-2.61	-5.38	8.04		27	5.74	2.96	340.37	
	10	-3.82	-6.11	12.61		28	4.91	1.57	343.01	
	11	-4.82	-6.58	16.52		29	3.89	0.13	346.39	
	12	-5.56	-6.75	19.56		30	2.73	-1.30	350.43	
	13	-5.97	-6.60	21.61		31	1.47	-2.66	355.03	
	14	-6.02	-6.11	22.61		VI	1	0.15	-3.89	360.00
	15	-5.72	-5.27	22.53			2	-1.20	-4.95	5.04
	16	-5.08	-4.10	21.36			3	-2.54	-5.80	9.86
	17	-4.15	-2.66	19.10			4	-3.83	-6.40	14.14
	18	-3.00	-1.03	15.72			5	-5.00	-6.73	17.66
	19	-1.72	0.69	11.25			6	-6.02	-6.76	20.28
	20	-0.39	2.36	5.82			7	-6.83	-6.49	21.94
	21	0.91	3.89	359.77			8	-7.35	-5.90	22.62
	22	2.13	5.15	353.64			9	-7.53	-4.99	22.32
	23	3.21	6.09	348.04			10	-7.32	-3.79	21.00
	24	4.10	6.64	343.47			11	-6.68	-2.33	18.63
	25	4.79	6.80	340.17		12	-5.61	-0.68	15.13	
	26	5.25	6.57	338.16		13	-4.13	1.05	10.46	
	27	5.46	5.99	337.37		14	-2.33	2.75	4.73	
	28	5.43	5.10	337.65		15	-0.32	4.27	358.34	
	29	5.15	3.96	338.87		16	1.72	5.49	351.95	
	30	4.63	2.65	340.95		17	3.65	6.32	346.33	
	V	1	3.88	1.23		343.83	18	5.29	6.70	342.00
		2	2.93	-0.23		347.43	19	6.54	6.65	339.15
		3	1.81	-1.66		351.67	20	7.34	6.20	337.70
		4	0.55	-3.00		356.42	21	7.67	5.42	337.45
		5	-0.78	-4.20		1.44	22	7.56	4.38	338.23
		6	-2.13	-5.21		6.46	23	7.08	3.14	339.88
7		-3.45	-6.01	11.17	24	6.28	1.78	342.33		
8		-4.65	-6.55	15.28	25	5.26	0.37	345.52		
9		-5.67	-6.81	18.58	26	4.06	-1.04	349.38		
10		-6.43	-6.76	20.95	27	2.76	-2.39	353.83		
11		-6.88	-6.39	22.32	28	1.41	-3.62	358.70		
12		-6.96	-5.68	22.66	29	0.05	-4.70	3.74		
13		-6.64	-4.64	21.96	30	-1.28	-5.57	8.64		
14		-5.92	-3.29	20.18	VII	1	-2.57	-6.20	13.08	
15		-4.82	-1.71	17.27		2	-3.77	-6.57	16.81	
16		-3.40	0.02	13.20		3	-4.87	-6.65	19.65	
17		-1.75	1.78	8.02		4	-5.83	-6.43	21.55	
18		-0.00	3.42	1.99		5	-6.61	-5.91	22.48	
19		1.73	4.83	355.62		6	-7.15	-5.10	22.47	
20		3.33	5.90	349.62		7	-7.41	-4.01	21.51	
21		4.68	6.57	344.59		8	-7.32	-2.67	19.58	
22		5.71	6.82	340.88		9	-6.84	-1.15	16.60	
23		6.39	6.67	338.55		10	-5.94	0.49	12.52	
24		6.71	6.15	337.48		11	-4.60	2.14	7.34	

KSIĘZYC

Data 2022		0 ^h UT			Data 2022		0 ^h UT			
		λ_0	β_0	P			λ_0	β_0	P	
VII	12	-2.88	3.69	1.26	VIII	29	-4.68	-5.14	22.52	
	13	-0.88	5.00	354.80		30	-5.07	-4.10	22.03	
	14	1.24	5.96	348.72		31	-5.28	-2.83	20.62	
	15	3.30	6.50	343.70		IX	1	-5.32	-1.39	18.25
	16	5.11	6.58	340.16			2	-5.14	0.15	14.91
	17	6.52	6.23	338.13			3	-4.73	1.71	10.58
	18	7.45	5.50	337.45			4	-4.06	3.19	5.32
	19	7.86	4.48	337.92			5	-3.10	4.52	359.41
	20	7.79	3.26	339.34			6	-1.89	5.58	353.32
	21	7.28	1.91	341.61			7	-0.46	6.29	347.69
	22	6.44	0.51	344.63			8	1.09	6.60	343.09
	23	5.34	-0.89	348.34			9	2.65	6.47	339.84
	24	4.07	-2.23	352.66			10	4.07	5.92	338.02
	25	2.72	-3.46	357.44		11	5.23	5.01	337.52	
	26	1.34	-4.53	2.46		12	6.02	3.81	338.19	
	27	-0.00	-5.41	7.42		13	6.40	2.43	339.86	
	28	-1.28	-6.06	12.00		14	6.35	0.95	342.42	
	29	-2.46	-6.45	15.93		15	5.91	-0.54	345.78	
	30	-3.52	-6.55	19.00		16	5.12	-1.96	349.83	
	31	-4.46	-6.36	21.14		17	4.08	-3.27	354.45	
	VIII	1	-5.26	-5.86		22.30	18	2.87	-4.41	359.43
		2	-5.90	-5.08		22.52	19	1.56	-5.35	4.49
		3	-6.36	-4.04		21.81	20	0.25	-6.06	9.34
		4	-6.59	-2.77		20.18	21	-0.98	-6.51	13.67
		5	-6.54	-1.32		17.57	22	-2.09	-6.68	17.26
		6	-6.17	0.23		13.95	23	-3.02	-6.55	19.95
		7	-5.43	1.82		9.28	24	-3.73	-6.12	21.69
		8	-4.31	3.33		3.67	25	-4.22	-5.37	22.45
		9	-2.83	4.65		357.46	26	-4.49	-4.35	22.24
		10	-1.07	5.68		351.25	27	-4.55	-3.07	21.07
		11	0.86	6.33		345.78	28	-4.40	-1.60	18.94
12		2.78	6.54	341.58	29	-4.08	-0.03	15.80		
13		4.52	6.30	338.87	30	-3.59	1.57	11.66		
14		5.93	5.66	337.62	X	1	-2.93	3.10	6.59	
15		6.88	4.68	337.64		2	-2.12	4.46	0.83	
16		7.34	3.46	338.74		3	-1.18	5.56	354.81	
17		7.31	2.09	340.76		4	-0.12	6.32	349.13	
18		6.85	0.65	343.59		5	1.02	6.70	344.33	
19		6.03	-0.77	347.15		6	2.16	6.67	340.75	
20		4.95	-2.13	351.35		7	3.25	6.22	338.53	
21		3.69	-3.38	356.05		8	4.19	5.40	337.59	
22		2.34	-4.47	1.04		9	4.92	4.26	337.83	
23		0.99	-5.37	6.06		10	5.37	2.90	339.11	
24		-0.30	-6.03	10.77		11	5.50	1.41	341.32	
25		-1.48	-6.44	14.90		12	5.30	-0.12	344.39	
26		-2.52	-6.56	18.23		13	4.78	-1.61	348.23	
27		-3.40	-6.39	20.63		14	3.99	-3.00	352.71	
28		-4.12	-5.91	22.06		15	2.96	-4.22	357.64	

KSIEŻYC

Data 2022		0 ^h UT			Data 2022		0 ^h UT		
		λ_0	β_0	P			λ_0	β_0	P
X	16	1.78	-5.24	2.75	XII	1	5.69	5.81	337.97
	17	0.50	-6.02	7.73		2	6.13	4.83	337.62
	18	-0.78	-6.55	12.26		3	6.27	3.60	338.31
	19	-2.00	-6.79	16.10		4	6.12	2.21	339.92
	20	-3.09	-6.74	19.09		5	5.74	0.73	342.39
	21	-3.97	-6.39	21.15		6	5.15	-0.76	345.67
	22	-4.61	-5.73	22.25		7	4.38	-2.19	349.69
	23	-4.95	-4.77	22.40		8	3.46	-3.50	354.32
	24	-4.99	-3.53	21.58		9	2.42	-4.63	359.35
	25	-4.74	-2.08	19.76		10	1.28	-5.55	4.47
	26	-4.20	-0.47	16.92		11	0.05	-6.21	9.34
	27	-3.43	1.19	13.01		12	-1.23	-6.61	13.63
	28	-2.47	2.81	8.07		13	-2.52	-6.72	17.15
	29	-1.38	4.25	2.33		14	-3.78	-6.54	19.78
	30	-0.23	5.44	356.23		15	-4.95	-6.07	21.50
	31	0.93	6.29	350.37		16	-5.96	-5.33	22.31
XI	1	2.03	6.74	345.34		17	-6.73	-4.32	22.24
	2	3.02	6.78	341.51		18	-7.19	-3.08	21.27
	3	3.88	6.42	338.99		19	-7.27	-1.65	19.36
	4	4.55	5.69	337.76		20	-6.90	-0.07	16.42
	5	5.02	4.64	337.67		21	-6.05	1.56	12.35
	6	5.26	3.35	338.61		22	-4.74	3.14	7.17
	7	5.27	1.90	340.48		23	-3.04	4.54	1.09
	8	5.04	0.37	343.23		24	-1.08	5.65	354.67
	9	4.58	-1.15	346.78		25	0.99	6.37	348.66
	10	3.89	-2.58	351.05		26	2.96	6.63	343.76
	11	3.00	-3.87	355.87		27	4.68	6.44	340.30
	12	1.93	-4.97	0.98		28	6.01	5.84	338.32
	13	0.74	-5.83	6.06		29	6.91	4.90	337.64
	14	-0.53	-6.44	10.77		30	7.35	3.70	338.08
15	-1.82	-6.77	14.85	31		7.37	2.33	339.48	
16	-3.06	-6.81	18.12						
17	-4.18	-6.56	20.48						
18	-5.11	-6.00	21.92						
19	-5.78	-5.16	22.43						
20	-6.12	-4.03	22.00						
21	-6.10	-2.67	20.62						
22	-5.68	-1.11	18.22						
23	-4.87	0.55	14.72						
24	-3.72	2.22	10.10						
25	-2.29	3.77	4.49						
26	-0.69	5.09	358.26						
27	0.94	6.06	352.07						
28	2.49	6.63	346.61						
29	3.84	6.76	342.36						
30	4.92	6.48	339.49						



Księżyc w zerowej libracji z nałożoną siatką współrzędnych selenograficznych